

SOCIETÀ ITALIANA
TRAFORO AUTOSTRADALE DEL FREGUS
 Sede legale: fraz. San Giuliano, 2 - 10059 Susa (TO)
SIRSA s.p.a.
 Via Bolognese 110 - 10059 Susa (TO)
 Tel. +39 011 572611 - Fax. +39 011 572628
 E-mail: info@sirsa.it
 PEC: msest@irsa.it
 gruppo SIRSA
 P.IVA 009519015
 Cap. Soc. € 520.000 i.r.
 Cod. Fis. Reg. Impres. 10 080541005
 R.E.A. Torino 993200

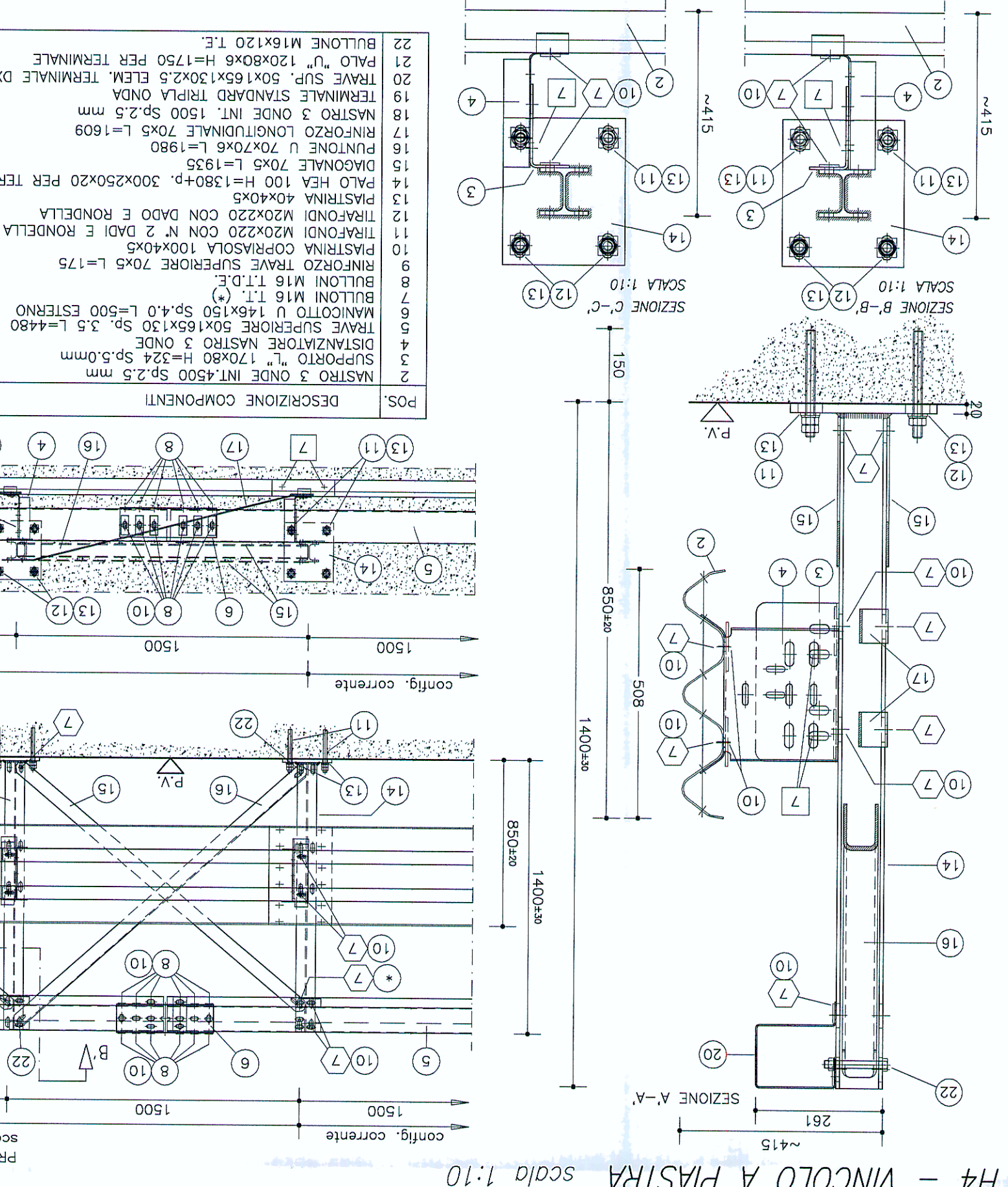
RILOCALIZZAZIONE DELL'AUTOPORTO DI SUSÀ
 SOVRAPPASSO DI INGRESSO - RAMPA C - DETTAGLI E OPERE ACCESSORIE

Indice	Data	Modificazioni / Note	Elaborato da	Verificato da	Autore
0	30/07/13	Previsione diffusione / Firma antiscivolo	L. BARBERIS (Milano)	C. GIOVINETTI (Milano)	M. BERTI (Genova)
A	25/10/13	Passaggio su autostrada / Passaggio lato sponda AP	L. BARBERIS (Milano)	C. GIOVINETTI (Milano)	M. BERTI (Genova)

Code	Desc	Unità	Quantità	Prezzo	Importo
AP	P	L			

ECCHELE / SCALA
1:10/20

DISPOSIZIONI PARTICOLARI SUI GIUNTI DELLE BARRIERE
 LA PRESENZA DEI GIUNTI DI DILATAZIONE COMPRENDERÀ L'ADozione DI UN PEZZO SPECIALE DI BARRIERA CHE RENDA POSSIBILE IL "MOVIMENTO" DELLA STRUTTURA
 CONSEQUENTE ALLE DILATAZIONI TERMICHE, GARANTENDO CONTEMPORANEAMENTE LA CONTINUA STRUTTURALE.



CARATTERISTICHE DEI MATERIALI (conformi a D.M. 14.01.2008)

ACCELO	f _{yk} (N/mm ²)	f _{yk} (N/mm ²)	f _{yk} (N/mm ²)	NOTE
ACCELO PER C.A.P.	500	500	500	
ACCELO PER SOTTOSTRADA	500	500	500	

ACCELO DA CARPENTERIA METALLICA

TIPOLOGIA DEL PRODOTTO	f _{yk} (N/mm ²)	f _{t0.1k} (N/mm ²)	f _{wk} (N/mm ²)	Treatment of stabilization	NOTE
ACCELO PER TRAVI IMPICCATI	555 J0	> 355	> 355		
ACCELO PER TRAVI MICROPILO	555 J0	> 355	> 355		

BULLONI

TIPOLOGIA DEL PRODOTTO	f _{yk} (N/mm ²)	f _{t0.1k} (N/mm ²)	f _{wk} (N/mm ²)	Treatment of stabilization	NOTE
ACCELO PER TRAVI IMPICCATI	555 J0	> 355	> 355		
ACCELO PER TRAVI MICROPILO	555 J0	> 355	> 355		

SALDATURE

La saldatura a completa penetrazione deve essere rispettata secondo le norme UNI EN ISO 5834:2001 e UNI EN ISO 15614-1:2005. Le additture a cordoncino devono sempre essere eseguite in modo continuo ed eseguito con due o più passaggi e spessore del giunto per ogni parte di giunto.
 Il diametro del foro delle lamiere bullonate deve essere uguale a:
 Ø1mm per Ø del bullone < 20mm; Ø1+1mm per Ø del bullone > 20mm

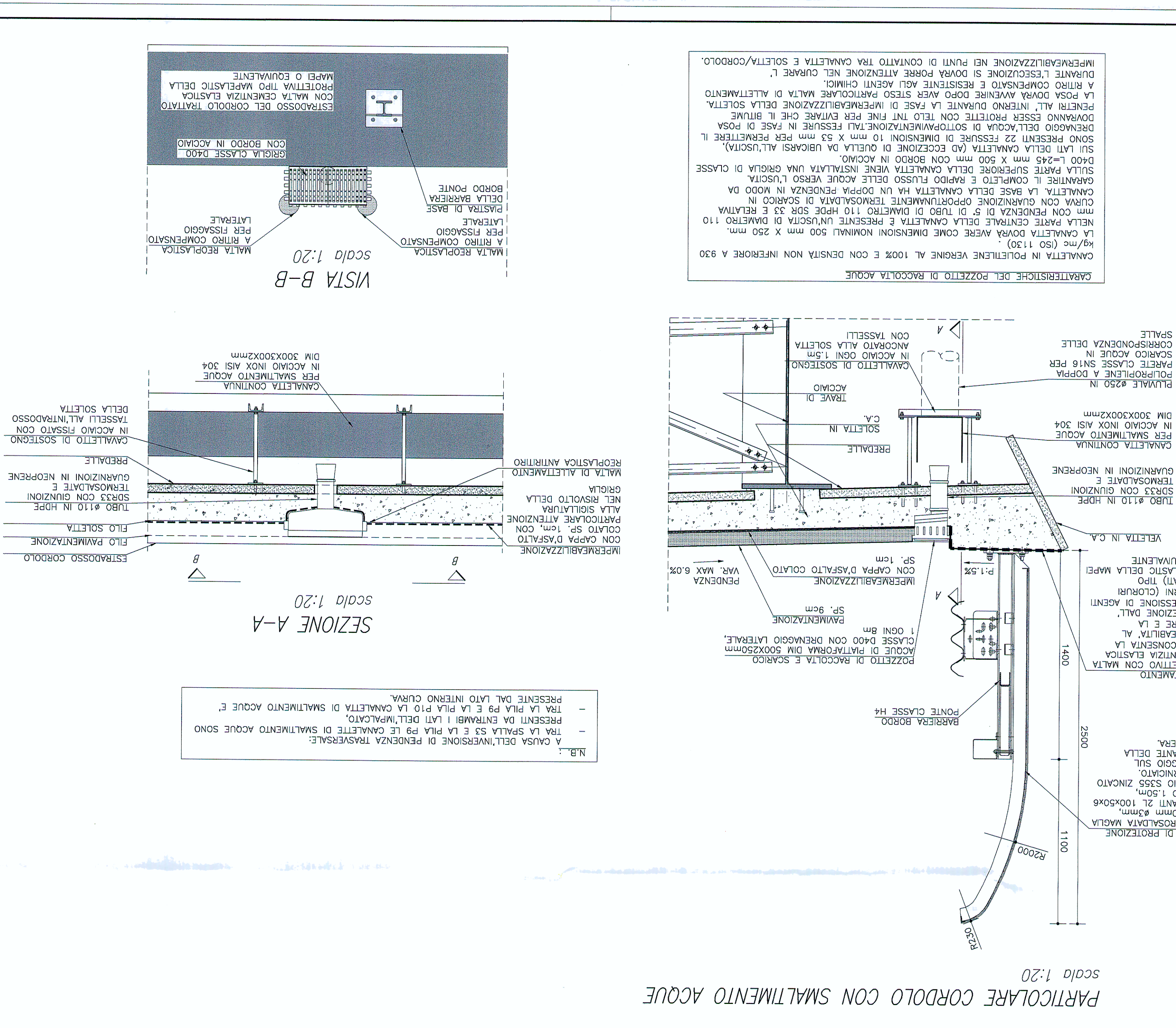
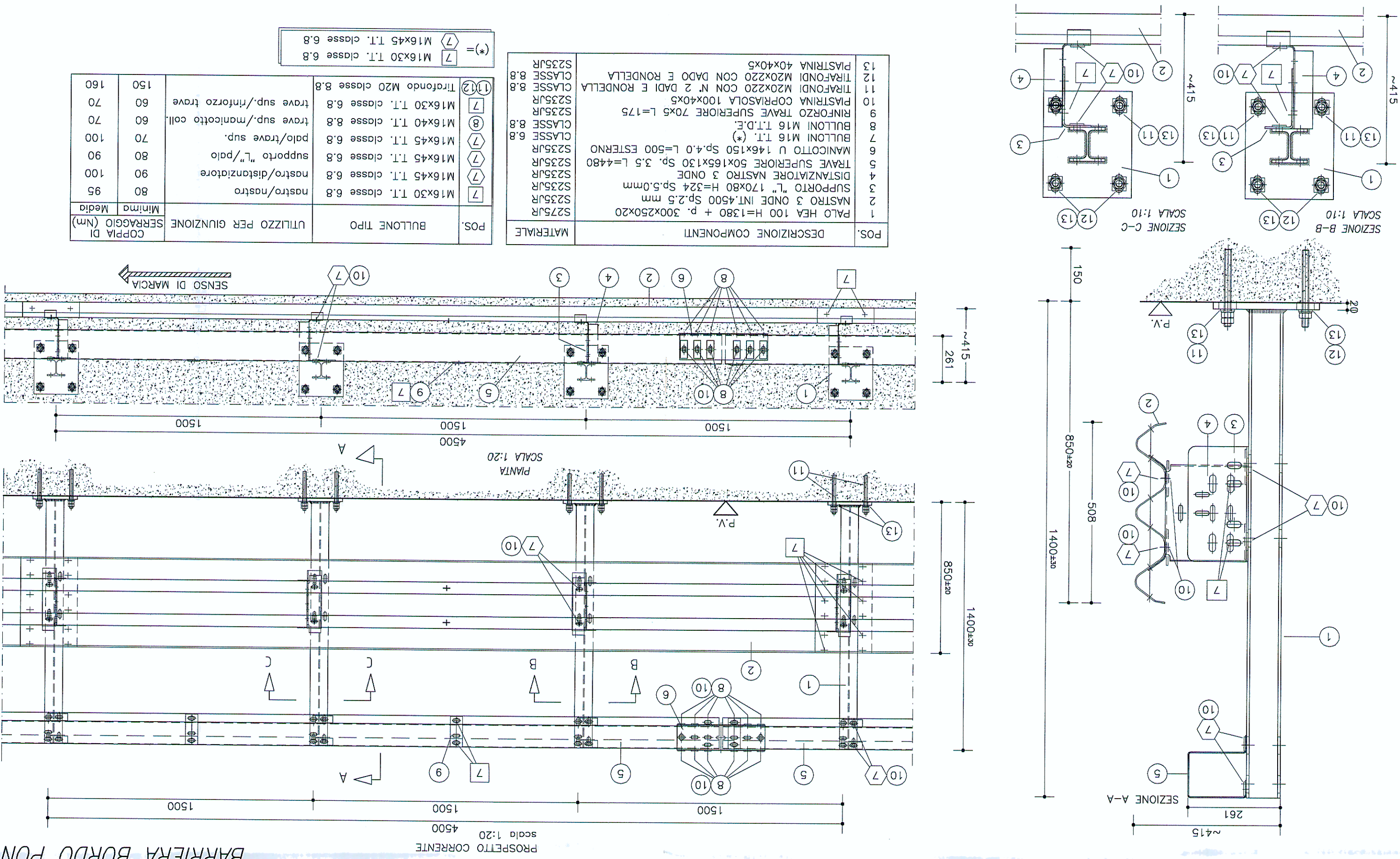
TRATTAMENTI PROTETTIVI

Per le barre d'armatura si prevede trattamento con passivante cementizio anticorrosivo
 - per l'acciaio da carpenteria metallica si prevede zincatura a caldo e verniciatura
 - per le superfici delle elevazioni in cls si prevede trattamento con vernice protettiva traspirante

INCIDENZE ARMATURE

SOLLETTE IMPALCATI	= 220 kg/mc	BAGGIOLI	= 80 kg/mc	PALE	= 120 kg/mc
MURI DI SOSTEGNO	= 120 kg/mc	PALE	= 80 kg/mc	PALE	= 120 kg/mc
CORDOLI PARALITICI = 250 kg/mc					

RIFERIMENTI / REFERENCES:
 PD2_C3A_MUS_1501_0_P.A.-NOT-Sovrapasso di ingresso-Rampe-Reologia di calcolo
 PD2_C3A_MUS_1502_1_A.AP-PLA-Sovrapasso di ingresso-Rampe-Reologia di calcolo
 PD2_C3A_MUS_1503_2_A.AP-PLA-Sovrapasso di ingresso-Rampe-Reologia di calcolo
 PD2_C3A_MUS_1504_3_A.AP-PLA-Sovrapasso di ingresso-Rampe-Reologia di calcolo
 PD2_C3A_MUS_1505_4_A.AP-PLA-Sovrapasso di ingresso-Rampe-Reologia di calcolo
 PD2_C3A_MUS_1506_5_A.AP-PLA-Sovrapasso di ingresso-Rampe-Reologia di calcolo
 PD2_C3A_MUS_1507_6_A.AP-PLA-Sovrapasso di ingresso-Rampe-Reologia di calcolo
 PD2_C3A_MUS_1508_7_A.AP-PLA-Sovrapasso di ingresso-Rampe-Reologia di calcolo
 PD2_C3A_MUS_1509_8_A.AP-PLA-Sovrapasso di ingresso-Rampe-Reologia di calcolo
 PD2_C3A_MUS_1510_9_A.AP-PLA-Sovrapasso di ingresso-Rampe-Reologia di calcolo
 PD2_C3A_MUS_1511_10_A.AP-PLA-Sovrapasso di ingresso-Rampe-Reologia di calcolo
 PD2_C3A_MUS_1512_11_A.AP-PLA-Sovrapasso di ingresso-Rampe-Reologia di calcolo
 PD2_C3A_MUS_1513_12_A.AP-PLA-Sovrapasso di ingresso-Rampe-Reologia di calcolo
 PD2_C3A_MUS_1514_13_A.AP-PLA-Sovrapasso di ingresso-Rampe-Reologia di calcolo
 PD2_C3A_MUS_1515_14_A.AP-PLA-Sovrapasso di ingresso-Rampe-Reologia di calcolo
 PD2_C3A_MUS_1516_15_A.AP-PLA-Sovrapasso di ingresso-Rampe-Reologia di calcolo
 PD2_C3A_MUS_1517_16_A.AP-PLA-Sovrapasso di ingresso-Rampe-Reologia di calcolo
 PD2_C3A_MUS_1518_17_A.AP-PLA-Sovrapasso di ingresso-Rampe-Reologia di calcolo
 PD2_C3A_MUS_1519_18_A.AP-PLA-Sovrapasso di ingresso-Rampe-Reologia di calcolo
 PD2_C3A_MUS_1520_19_A.AP-PLA-Sovrapasso di ingresso-Rampe-Reologia di calcolo
 PD2_C3A_MUS_1521_20_A.AP-PLA-Sovrapasso di ingresso-Rampe-Reologia di calcolo
 PD2_C3A_MUS_1522_21_A.AP-PLA-Sovrapasso di ingresso-Rampe-Reologia di calcolo
 PD2_C3A_MUS_1523_22_A.AP-PLA-Sovrapasso di ingresso-Rampe-Reologia di calcolo
 PD2_C3A_MUS_1524_23_A.AP-PLA-Sovrapasso di ingresso-Rampe-Reologia di calcolo
 PD2_C3A_MUS_1525_24_A.AP-PLA-Sovrapasso di ingresso-Rampe-Reologia di calcolo
 PD2_C3A_MUS_1526_25_A.AP-PLA-Sovrapasso di ingresso-Rampe-Reologia di calcolo
 PD2_C3A_MUS_1527_26_A.AP-PLA-Sovrapasso di ingresso-Rampe-Reologia di calcolo
 PD2_C3A_MUS_1528_27_A.AP-PLA-Sovrapasso di ingresso-Rampe-Reologia di calcolo
 PD2_C3A_MUS_1529_28_A.AP-PLA-Sovrapasso di ingresso-Rampe-Reologia di calcolo
 PD2_C3A_MUS_1530_29_A.AP-PLA-Sovrapasso di ingresso-Rampe-Reologia di calcolo
 PD2_C3A_MUS_1531_30_A.AP-PLA-Sovrapasso di ingresso-Rampe-Reologia di calcolo
 PD2_C3A_MUS_1532_31_A.AP-PLA-Sovrapasso di ingresso-Rampe-Reologia di calcolo
 PD2_C3A_MUS_1533_32_A.AP-PLA-Sovrapasso di ingresso-Rampe-Reologia di calcolo
 PD2_C3A_MUS_1534_33_A.AP-PLA-Sovrapasso di ingresso-Rampe-Reologia di calcolo
 PD2_C3A_MUS_1535_34_A.AP-PLA-Sovrapasso di ingresso-Rampe-Reologia di calcolo
 PD2_C3A_MUS_1536_35_A.AP-PLA-Sovrapasso di ingresso-Rampe-Reologia di calcolo
 PD2_C3A_MUS_1537_36_A.AP-PLA-Sovrapasso di ingresso-Rampe-Reologia di calcolo
 PD2_C3A_MUS_1538_37_A.AP-PLA-Sovrapasso di ingresso-Rampe-Reologia di calcolo
 PD2_C3A_MUS_1539_38_A.AP-PLA-Sovrapasso di ingresso-Rampe-Reologia di calcolo
 PD2_C3A_MUS_1540_39_A.AP-PLA-Sovrapasso di ingresso-Rampe-Reologia di calcolo
 PD2_C3A_MUS_1541_40_A.AP-PLA-Sovrapasso di ingresso-Rampe-Reologia di calcolo
 PD2_C3A_MUS_1542_41_A.AP-PLA-Sovrapasso di ingresso-Rampe-Reologia di calcolo
 PD2_C3A_MUS_1543_42_A.AP-PLA-Sovrapasso di ingresso-Rampe-Reologia di calcolo
 PD2_C3A_MUS_1544_43_A.AP-PLA-Sovrapasso di ingresso-Rampe-Reologia di calcolo
 PD2_C3A_MUS_1545_44_A.AP-PLA-Sovrapasso di ingresso-Rampe-Reologia di calcolo
 PD2_C3A_MUS_1546_45_A.AP-PLA-Sovrapasso di ingresso-Rampe-Reologia di calcolo
 PD2_C3A_MUS_1547_46_A.AP-PLA-Sovrapasso di ingresso-Rampe-Reologia di calcolo
 PD2_C3A_MUS_1548_47_A.AP-PLA-Sovrapasso di ingresso-Rampe-Reologia di calcolo
 PD2_C3A_MUS_1549_48_A.AP-PLA-Sovrapasso di ingresso-Rampe-Reologia di calcolo
 PD2_C3A_MUS_1550_49_A.AP-PLA-Sovrapasso di ingresso-Rampe-Reologia di calcolo
 PD2_C3A_MUS_1551_50_A.AP-PLA-Sovrapasso di ingresso-Rampe-Reologia di calcolo



PROSPETTO CORRENTE scala 1:20

PARTECOLARE CORDOLO CON SMALTIMENTO ACQUE scala 1:20